Capítulo 8: Resúmenes Estaciponales

G.D. Bell y M.S. Halpert

Traducido por: Enric Aguilar

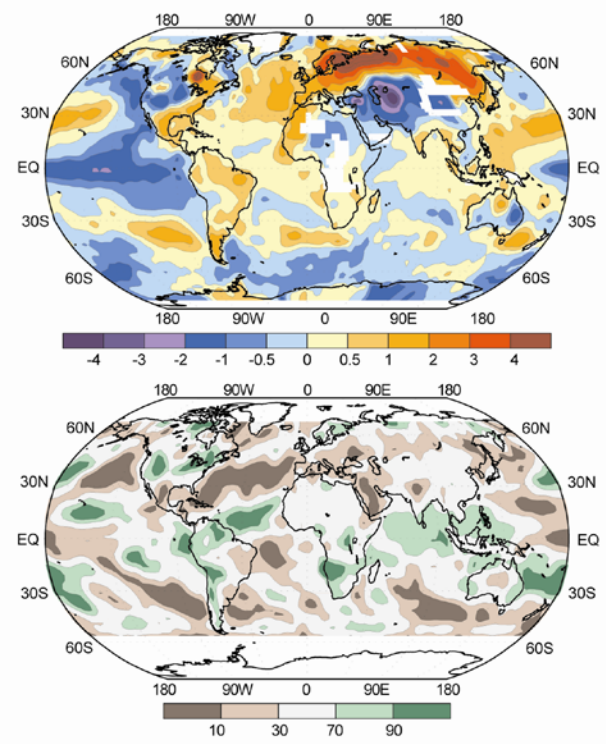

Fig. 8.1 Anomalías de la temperatura en superficie para Dic-2007 a Feb-2008 (arriba) y percentiles de la precipitación basados en una distribución gama ajustada al periodo 1979-2000 (abajo). Las anomalías de temperatura (referidas a 1971-2000) se basan en datos de estaciones sobre la tierra y sobre SST sobre agua. Los datos de precipitación proceden del banco de datos CAMPS-OPI, una combinación de datos de pluviómetro y estimaciones derivadas de satélite. Janowiak and Xie 1999). Las áreas en con baja cobertura de datos han sido omitidas y aparecen en blanco.

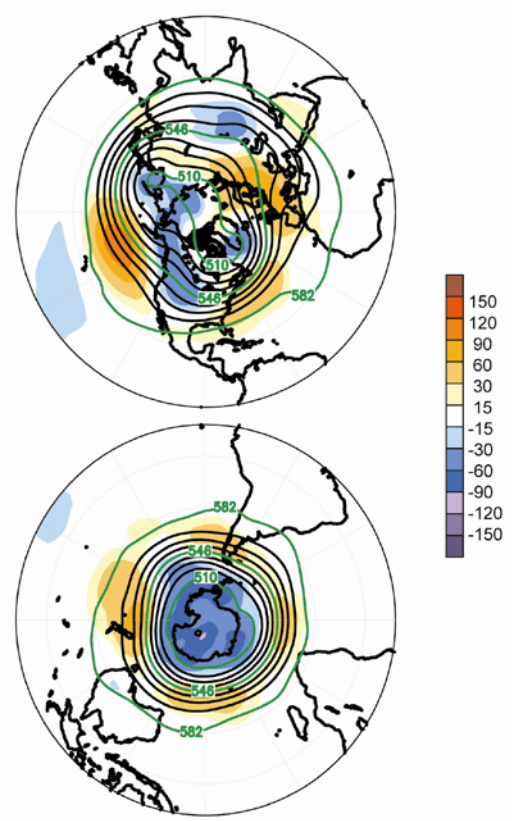

Fig. 8.2 Diciembre-2007 a Feb. 2008. Valores para el Hemisferio Norte (arriba) y Hemisferio Sur (abajo) de las alturas geopotenciales a 500hPa (contornos de 9-dam) y sus anomalías (sombreado) respecto al periodo de referencia 1971-2000.

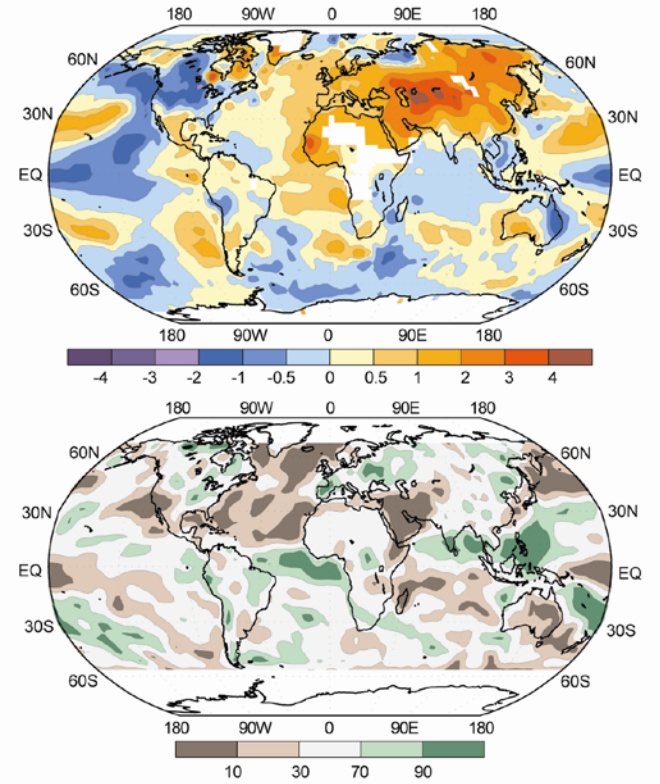

Fig. 8.3 Anomalías de la temperatura en superficie para marzo-mayo 2008 (arriba) y percentiles de la precipitación basados en una distribución gama ajustada al periodo 1979-2000 (abajo). Las anomalías de temperatura (referidas a 1971-2000) se basan en datos de estaciones sobre la tierra y sobre SST sobre agua. Los datos de precipitación proceden del banco de datos CAMPS-OPI, una combinación de datos de pluviómetro y estimaciones derivadas de satélite. Janowiak and Xie 1999). Las áreas en con baja cobertura de datos han sido omitidas y aparecen en blanco.

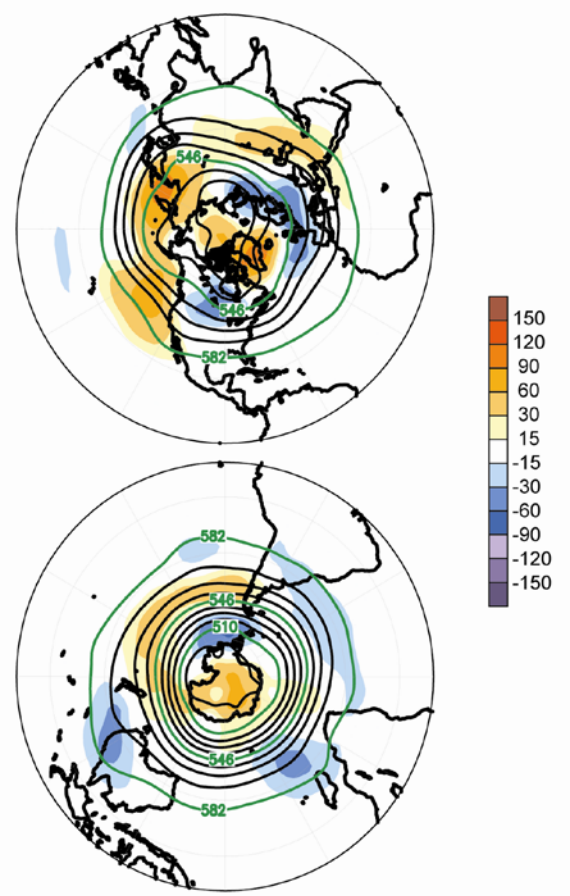

Fig. 8.4 Marzo-mayo 2008. Valores para el Hemisferio Norte (arriba) y Hemisferio Sur (abajo) de las alturas geopotenciales a 500hPa (contornos de 9-dam) y sus anomalías (sombreado) respecto al periodo de referencia 1971-2000.

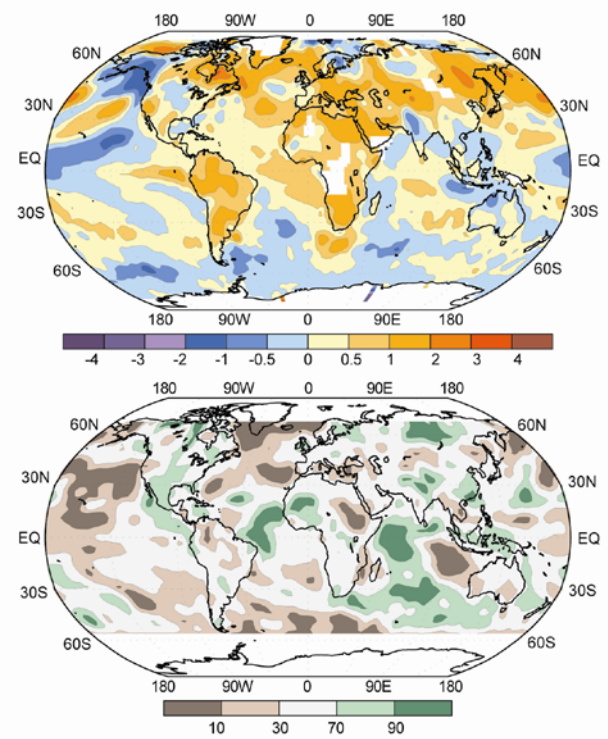

Fig. 8.5 Anomalías de la temperatura en superficie para junio-agosto 2008 (arriba) y percentiles de la precipitación basados en una distribución gama ajustada al periodo 1979-2000 (abajo). Las anomalías de temperatura (referidas a 1971-2000) se basan en datos de estaciones sobre la tierra y sobre SST sobre agua. Los datos de precipitación proceden del banco de datos CAMPS-OPI, una combinación de datos de pluviómetro y estimaciones derivadas de satélite. Janowiak and Xie 1999). Las áreas en con baja cobertura de datos han sido omitidas y aparecen en blanco.

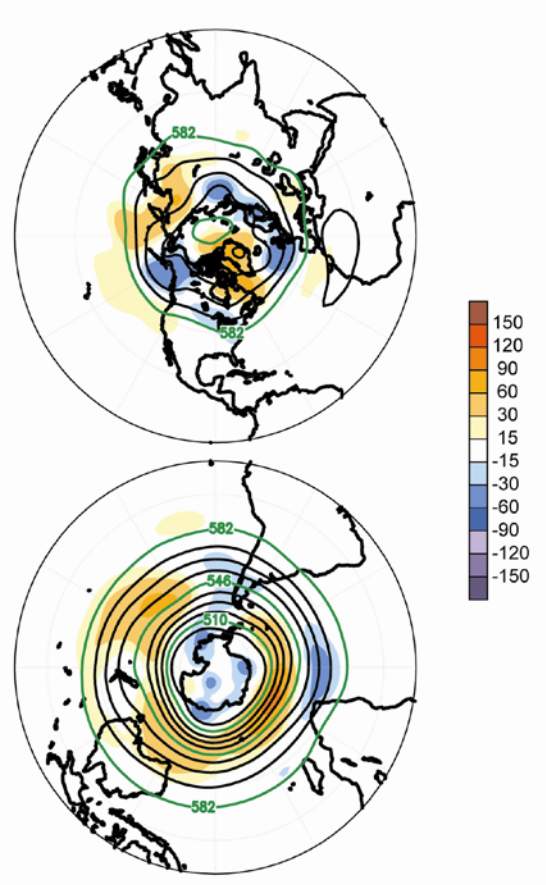

Fig. 8.6 Junio-agosto 2008. Valores para el Hemisferio Norte (arriba) y Hemisferio Sur (abajo) de las alturas geopotenciales a 500hPa (contornos de 9-dam) y sus anomalías (sombreado) respecto al periodo de referencia 1971-2000.

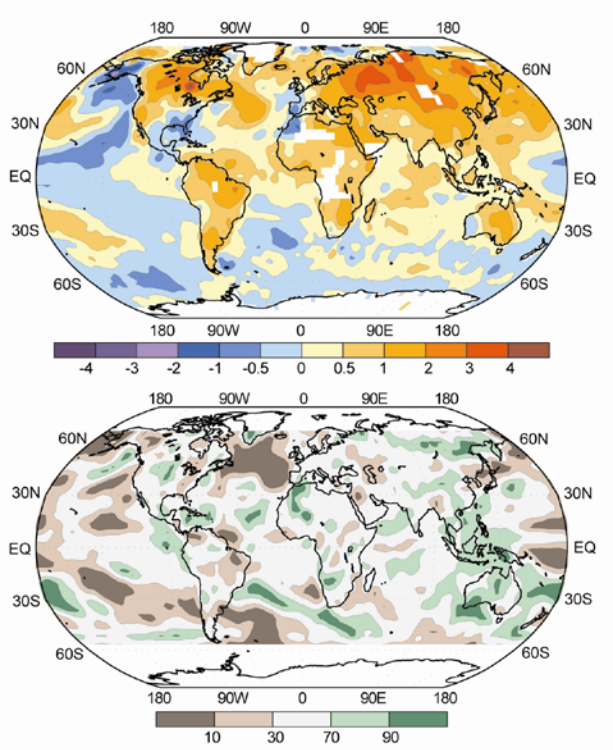

Fig. 8.7 Anomalías de la temperatura en superficie para septiembre-noviembre 2008 (arriba) y percentiles de la precipitación basados en una distribución gama ajustada al periodo 1979-2000 (abajo). Las anomalías de temperatura (referidas a 1971-2000) se basan en datos de estaciones sobre la tierra y sobre SST sobre agua. Los datos de precipitación proceden del banco de datos CAMPS-OPI, una combinación de datos de pluviómetro y estimaciones derivadas de satélite. Janowiak and Xie 1999). Las áreas en con baja cobertura de datos han sido omitidas y aparecen en blanco.

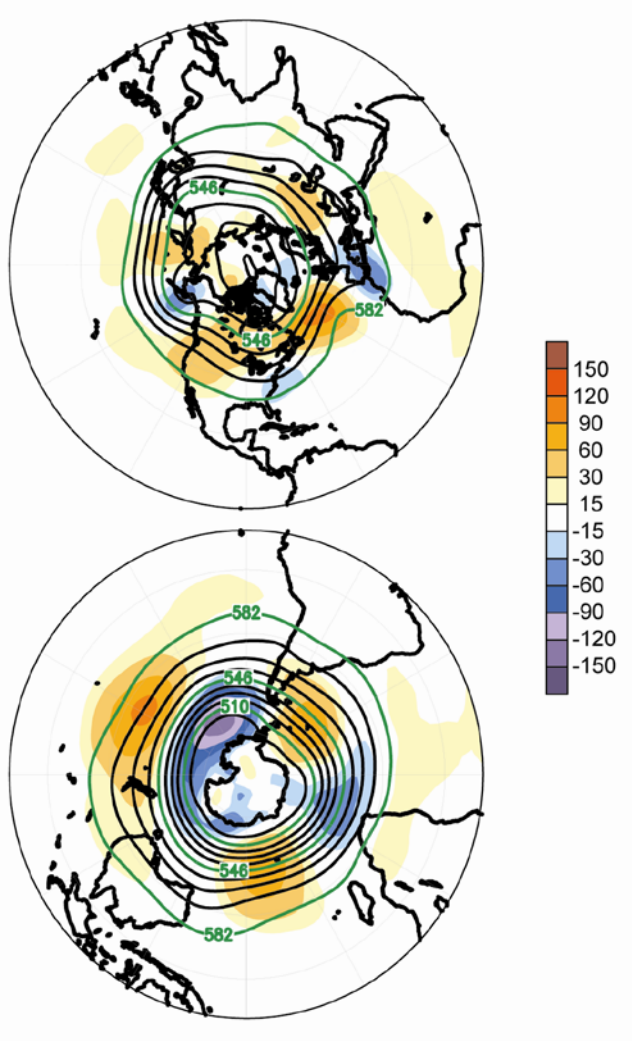

Fig. 8.8 Septiembre-noviembre 2008. Valores para el Hemisferio Norte (arriba) y Hemisferio Sur (abajo) de las alturas geopotenciales a 500hPa (contornos de 9-dam) y sus anomalías (sombreado) respecto al periodo de referencia 1971-2000.